

ΕΠΙ ΤΙΝΩΝ ΕΜΦΑΝΙΣΕΩΝ ΡΟΔΙΝΓΙΤΩΝ ΕΝ ΕΛΛΑΔΙ *

Υ Π Ο

Ε. Γ. ΔΗΜΟΥ **

Σύνοψις. Είς τὴν παροῦσαν ἐργασίαν μελετῶνται ἐμφανίσεις ροδινγιτῶν ἐκ διαφόρων περιοχῶν τῆς Ἑλλάδος, ὡς τῆς Βεροίας, τῆς Ροδιανῆς, τῆς νήσου Λέσβου καὶ τῶν χωρίων Ἐλαφίνα, Χωροπάνιον καὶ Μικροκλεισοῦρα Γρεβενῶν.

Οἱ μελετηθέντες ροδινγῖται ἐμφανίζονται ὑπὸ μορφὴν φλεβικῶν σχηματισμῶν. Κύρια ὀρυκτολογικὰ συστατικά των εἰναι ὁ ὑδρογροσοσουλάριος, ὁ διοψίδιος, ὁ βεζούσιβιανὸς καὶ ὁ χλωρίτης. Ἐκ τῆς ὑπολογισθείσης σταθερᾶς πλέγματος τοῦ ὑδρογροσοσουλαρίου ($a = 12,0410 \text{ Å}$) προκύπτει ὅτι ἀνήκει οὗτος εἰς τὸ εἶδος hibschite. Παρετηρήθησαν ὅλα τὰ στάδια ροδινγιτώσεως, δηλαδὴ ἀπὸ τυπικὸν ροδινγίτην μὲ κύριον συστατικὸν τὸν ὑδρογροσοσουλάριον, ἔως ροδινγίτην μὲ κύριον συστατικὸν τὸν βεζούσιβιανόν.

Ἐκ τῆς μικροσκοπικῆς κυρίως παρατηρήσεως συνάγεται ὅτι τὸ ἀρχικὸν πέτρωμα τῶν ροδινγιτῶν δύναται νὰ εἰναι γάβθρος, δολερίτης ἢ ἀκόμη καὶ πυροξενίτης. Ἐκ τῶν χημικῶν ἀναλύσεων ἀποδεικνύεται ὅτι πρόκειται διὰ ὑπερβασικὰ πετρώματα πλούσια εἰς CaO .

Ἡ γένεσις τῶν ροδινγιτῶν ἀποδίδεται εἰς τὰ αὐτὰ αἴτια τὰ ὅποια προεκάλεσαν καὶ τὸ φαινόμενον τῆς σερπεντινώσεως. Γίνονται ὥρισμέναι σκέψεις ὡς πρὸς τὴν προέλευσιν τοῦ CaO , τὸ ὅποιον καὶ ἀποδίδεται κυρίως εἰς τὴν ἔξαλλοιώσιν τῶν κλινοπυρόξένων τῶν ὑπερβασικῶν πετρωμάτων κατὰ τὴν διάρκειαν τῆς σερπεντινώσεως. Τέλος θεωρεῖται πιθανὴ μία, εἰς μικρὰν κλίμακα, ἀνταλλαγὴ στοιχίων μεταξὺ ροδινγίτου καὶ σερπεντινίτου.

I. ΕΙΣΑΓΩΓΗ

Σκοπὸς τῆς παρούσης ἐργασίας εἰναι ἡ μελέτη ὄρισμένων λευκοχρόων φλεβῶν αἱ ὅποιαι διασχίζουν ὑπερβασικὰ πετρώματα διαφόρων περιοχῶν τῆς Ἑλλάδος. Ἡ ἔξέτασις τῶν φλεβικῶν τούτων πετρωμάτων ἀπέδειξεν ὅτι πρόκειται διὰ πετρώματα τὰ ὅποια εἰς τὴν διεθνῆ βιβλιογραφίαν ἀναφέρονται ὡς ροδινγῖται.

Είναι δύσκολον νὰ δώσωμεν τὸν ὄρισμὸν τῶν ροδινγιτῶν λόγῳ τῆς ποικίλης δρυκτολογικῆς συστάσεως καὶ ὑφῆς τὴν ὅποιαν παρουσιάζουν· πρόκειται γενικῶς, ὡς ἀναφέρει ὁ M. VUAGNAT (15), διὰ ἀνοικτόχροα πετρώματα, πλούσια εἰς διάφορα ἀσβεστοπυριτικὰ δρυκτά (διοψίδιος, γρανάται, ὑδρογρανάται, βεζούσιβιανός), σχηματίζοντα εἴτε φακοὺς εἴτε ἀκανόνιστα φλεβίδια ἐντὸς τῶν σερπεντινῶν.

Τὰ πετρώματα ταῦτα λόγῳ τῆς ἰδιομορφίας των ἔχουν πολλάκις παρανοηθῆ ὑπὸ τῶν συγγραφέων. Οὕτω, ὁ S. A. BILGRAMI τὸ 1960 περιγρά-

* E. G. DIMOU : Sur quelques affleurements de rodingites en Grèce.

** Ἀνεκοινώθη κατὰ τὴν συνεδρίαν τῆς 25-10-71.

φει ταῦτα ὡς ἀσβεστιτικὰς φλέβας ἐντὸς σερπεντινιτῶν, προβαίνει δὲ εἰς διόρθωσιν τῆς ἀπόφεως ταύτης τὸ 1963 (**1**). Οἱ ροδινγῖται τοῦ Δ. Πακιστάν (Δ. τοῦ Dargai) ἀναφέρονται καὶ πωλοῦνται ὡς «Jade» (**12**). Ὁ M. A. QAISEK (**12**) ἀναφέρει ὅτι καὶ τὸ «Jade» τῆς N. Ἀφρικῆς δὲν εἶναι τίποτε ἄλλο παρὰ εἰς ροδινγίτης.

Τὸ ὄνομα ροδινγίτης ἐδόθη ἀπὸ τὸν πρῶτον παρατηρήσαντα τὸ πέτρωμα τοῦτο τὸ 1911 P. MARSHALL, ὅστις τὸ ἀνεῦρεν πλησίον τοῦ ποταμοῦ Roding, τῆς ὁροσειρᾶς Dun τῆς Νέας Ζηλανδίας. Ἀκολούθως αἱ ἐμφανίσεις τῆς Ζηλανδίας περιεγράφησαν πολλάκις, κυρίως ὑπὸ τοῦ L. I. GRANGE τὸ 1927.

Ἀνάλογα πετρώματα ἔχουν ἐπισημανθῆ κατὰ καιροὺς εἰς διάφορα σημεῖα τῆς γῆς. Τὸ 1953 ὁ M. VUAGNAT ἀναφέρει διὰ πρώτην φορὰν εἰς τὰς "Αλπεις (Montgenèvre) τὴν ὑπαρξίν ροδινγίτῶν, ἀργότερον δὲ περιγράφει καὶ ἔτέρας ἐμφανίσεις εἰς ἄλλας περιοχὰς τῶν "Αλπεων (**14, 15**). Τὸ 1954 παρετηρήθησαν ἀνάλογα πετρώματα εἰς Ἰαπωνίαν ὑπὸ J. SUZUKI (**13**). Τὸ 1960 καὶ ἀκολούθως τὸ 1963 ὁ S. A. BILGRAMI (**1, 2**) μελετᾷ ροδινγίτας εἰς περιοχὰς τοῦ Δ. Πακιστάν· ἐπίσης τὸ 1960 μελετῶνται καὶ εἰς τὴν ΒΔ Συρίαν ὑπὸ τοῦ V. MAJER (**8**). Τὸ 1962 ἀναφέρονται ροδινγῖται εἰς τὴν Γιουγκοσλαβίαν ὑπὸ τοῦ S. GRNVČEVIĆ (**4**)· ἐπίσης τὸ 1962 οἱ CH. DUCLOZ καὶ M. VUAGNAT περιγράφουν ἀνάλογες ἐμφανίσεις εἰς τὴν Κούβαν (**5**). Τὸ 1965 ὑπὸ τῶν E. COGULU καὶ M. VUAGNAT ἀναφέρονται ροδινγῖται εἰς τὴν Τουρκίαν (**3**).

Εἰς τὴν Ἐλλάδα παρετηρήθησαν ὑπὸ τοῦ Γ. ΠΑΡΑΣΚΕΥΟΠΟΥΛΟΥ (**10**) τὸ 1970 εἰς τὴν περιοχὴν ΒΔ τῆς Καλαμπάκας, μεταξὺ τῶν χωρίων Μεγάλη Κερασιά καὶ Πεύκη. Οὗτος ἐμελέτησεν κυρίως ἔναν ἰδιαίτερον τύπον ροδινγίτου, προερχόμενον ἐκ ξενολίθου.

Εἰς τὴν παροῦσαν ἐργασίαν μελετῶνται ροδινγῖται ἐκ διαφόρων περιοχῶν τῆς Ἐλλάδος, ἥτοι: α) τοῦ χωρίου Βεργίνα ΝΑ τῆς Βεροίας, β) διαφόρων θέσεων τῆς περιοχῆς Ροδιανῆς, ὡς Ζυγόστι, Καλύβια, Ἰτιά, Νταρνταμπάδι, Παπᾶ-πέτρα, Μεταλλεῖον χρωμίτου Ροδιανῆς, γ) τοῦ Κάτω Βούρκου τῆς νήσου Λέσβου καὶ δ) τῶν χωρίων Ἐλαφίνα καὶ Χωροπάνιον τοῦ νομοῦ Ἡμαθίας καὶ τῆς Μικροκλεισούρας Γρεβενῶν.

Λεπτομερεστέρα μελέτη ἐγένετο διὰ τοὺς ροδινγῖτας τοῦ χωρίου Βεργίνα καθ' δ, τι ἐκεῖ παρουσιάζεται μία πλήρης ροδινγιτίωσις, ὡς ἐπίσης καὶ διάφοροι δρυκτολογικοὶ τύποι ροδινγίτῶν.

Σημείωσις: Τὰ δείγματα ἐκ τῶν περιοχῶν Ἐλαφίνας, Χωροπάνιον, Μικροκλεισούρας καὶ Μεταλλείου Ροδιανῆς συνελέγησαν ὑπὸ τῶν κ. κ. Δρ. Δ. ΧΑΡΑΛΑΜΠΟΥΣ, Κ. ΚΟΥΒΕΛΟΥ γεωλόγων καὶ ΕΥΣΤ. ΧΙΩΤΗ μεταλλειολόγου - μηχανικοῦ, παρὰ τῷ Ι.Γ.Ε.Υ.

II. ΠΕΤΡΟΛΟΓΙΚΗ ΜΕΛΕΤΗ

Α) Περιοχή Βεροίας (χωρίον Βεργίνα).

Έντοτε τῶν ὑπερβασικῶν πετρωμάτων τοῦ χωρίου Βεργίνα, ΝΑ τῆς Βεροίας, ἐμφανίζονται λεπταὶ φλέβες ροδινγιτῶν πάχους 2 ἔως 20 ἑκ., αἱ δόποιαι διασχίζουν, πάντοτε μὲ ἀπότομον ἐπαφήν, τὰ ὑπερβασικὰ πετρώματα. Τὸ χρῶμα τῶν φλεβῶν εἶναι γενικῶς ἀνοικτόν, λευκοπράσινον ἔως γαλακτόλευκον. Ωρισμέναι ἔξι αὐτῶν δὲν παρουσιάζουν καθ' ὅλον τὸ μῆκος των τὴν ἴδιαν σύστασιν καὶ ὑφήν, ἀλλὰ ἐμφανίζουν οὐσιώδεις μεταβολάς. Παρετηρήθησαν περιπτώσεις καθ' ἃς φλέψι λίαν συνεκτικὴ καὶ συμπαγής, ὡς συνήθως παρουσιάζεται, μεταπίπτει διὰ τῆς διευρυνσεώς της εἰς λίαν εὔθρυπτον καὶ πλέον ἀνοικτόχρουν τοιαύτην. Ἡ μεταβολὴ τῆς ὀρυκτολογικῆς συστάσεως εἶναι καὶ μακροσκοπικῶς δρατή. Οἱ εὔθρυπτοι ροδινγῖται ἐν ἀντιθέσει πρὸς τὸν συμπαγεῖς τοιούτους, παρουσιάζουν ἐπὶ πλέον μεγάλους κρυστάλλους δρατοὺς διὰ γυμνοῦ ὄφθαλμοῦ.

Γενικῶς διακρίνομεν εἰς τὴν περιοχὴν ταύτην δύο ἀκραῖα εἴδη ροδινγιτῶν, μὲ δῆλας τὰς ἐνδιαμέσους μορφάς, πρᾶγμα τὸ δόποιον δὲν παρετηρήσαμεν εἰς τὰς ἄλλας μελετηθείσας περιοχάς. Τὸ αὐτὸν φαινόμενον, λίαν σπάνιον, ἔχει περιγραφῆ τὸ 1962 ὑπὸ τοῦ P. MÜLLER (9), δστις διεχώρισεν τὰ πετρώματα ταῦτα εἰς δύο διμάδας τοὺς Grossularite - Diopside - Rodingites καὶ τοὺς Vesuvian - Rodingites.

Ἐκατέρωθεν ἔκαστης φλεβὸς καὶ εἰς τὴν ἐπαφὴν μεταξὺ ταύτης καὶ τῶν σερπεντινιτῶν παρεμβάλλεται πάντοτε μία λεπτὴ ζώνη χρώματος πρασινοφαΐου, τῆς δόπιας τὸ μέγιστον πάχος εἶναι 1 ἔως 2 ἑκ. Τὸ πάχος τῆς ἐν λόγῳ ζώνης εἶναι ἀνάλογον πρὸς τὸ πάχος τῆς φλεβός.

Ο τεκτονικὸς παράγων ἔχει ἐπιδράσει ἐντόνως ἐπὶ τῶν φλεβῶν αὐτῶν, μὲ ἀποτέλεσμα νὰ διακόπτεται πολλάκις ἡ συνέχεια τούτων καὶ νὰ δημιουργοῦνται μικρὰ ἀνεξάρτητα σώματα ἐκ χαλαροῦ καὶ εὐθρύπτου κυρίως ροδινγίτου.

1) Μικροσκοπικὴ ἔξέτασις.

Ἡ μικροσκοπικὴ παρατήρησις δὲν περιωρίσθη ἀποκλειστικῶς καὶ μόνον εἰς τὰς δοδινγιτικὰς φλέβας, ἀλλὰ ἐπεξετάθη καὶ εἰς τὰ ἔχοντα ἀμεσον σχέσιν πετρώματα, ὡς εἰς τὴν ἐν ἐπαφῇ μετὰ τῆς φλεβὸς εὐρισκομένην σκοτεινὴν ζώνην καὶ εἰς τοὺς σερπεντινίτας.

Μικροσκοπικῶς ἔξεταζόμενος εἴς τυπικὸς τῆς περιοχῆς ροδινγίτης, συμπαγής τύπος, παρουσιάζει λίαν ἴδιόρρυθμον σύστασιν καὶ ὑφήν. Συνίσταται κατὰ κύριον λόγον ἀπὸ συμπαγῆ καστανόχροα συσσωματώματα, ἀποτελούμενα ἐκ μικροτάτων ἀλληλοεφαπτομένων ἰσοτρόπων σφαιριδίων, μεταξὺ τῶν δόπιων παρεμβάλλονται ὀλίγοι ἀνισότροποι κρύσταλλοι. "Αλλοτε τὰ

μικρὰ ταῦτα σφαιρίδια διατάσσονται εἰς παραλλήλους σειρὰς καὶ φαίνεται ὅτι ἀναπτύσσονται ἐπὶ γραμμῶν ἀσυνεχείας (σχισμός, διδυμία) ἐνὸς ἄλλου ὀρυκτοῦ, τὸ δόποιον ὅμως δὲν ἀναγνωρίζεται διότι ἔχει καταστῆ ἴσοτροπον. "Ἄλλοτε πάλιν, ὑπὸ μορφὴν νέφους καλύπτουν τὸ παρασκεύασμα καὶ τέλος, εἰς σπανίας περιπτώσεις, παρουσιάζουν μεγαλυτέρας διαστάσεις καὶ κρυσταλλογραφικὰ σχήματα, τοῦτο δὲ μόνον ἐντὸς μικρορωγμῶν τοῦ πετρώματος (Πίν. XVIII Εἰκ. 1). 'Η ἀκτινογραφικὴ μελέτη ἀπέδειξεν ὅτι πρόκειται περὶ μικρῶν κόκκων ὑδρογροσσούλαρίου καὶ δὴ τοῦ εἴδους hibschite. Τοῦτο ἀναπτύσσεται ἐν λεπτομερείᾳ κατωτέρῳ εἰς τὰ περὶ ἀκτινογραφικῆς ἐρεύνης. Μεταξὺ τῶν γρανατιτικῶν συσσωματωμάτων εὑρίσκονται παρενσπαρμένοι δλίγοι ἔξαλλοιωμένοι κλινοπυρόξενοι καὶ χλωρίτης ὑπὸ μορφὴν λεπτῶν λεπιδίων ἢ βελονιδίων.

Οἱ πλέον ἀνοικτόχροοι καὶ εὔθρυπτοι φοδινγίται παρουσιάζουν διαφορετικὴν σύστασιν καὶ ἰστόν. 'Ο ὑδρογρανάτης δὲν ἀποτελεῖ τὸ κύριον ὀρυκτολογικὸν συστατικόν, ἐνίοτε δὲ ἐλλείπει παντελῶς. 'Αντιθέτως παρουσιάζονται ἄφθονοι κρύσταλλοι διοψιδίου ὑπὸ μορφὴν μεγάλων δοκίδων καὶ βεζουβιανός. 'Αμφότεροι προσδιωρίσθησαν καὶ ἀκτινογραφικῶς. 'Ο βεζουβιανὸς παρουσιάζεται κατὰ συγκεντρώσεις ἐκ μικρῶν ἴδιομόρφων κόκκων, ἐνίοτε δὲ εἶναι τόσον ἄφθονος, ὥστε νὰ ἀποτελῇ τὸ κύριον ὀρυκτολογικὸν συστατικὸν τῶν πετρωμάτων. Αἱ δοκίδες τοῦ διοψιδίου συχνάκις διασταυροῦνται καὶ σχηματίζουν πλέγμα, δημιουργοῦσαι τοιουτορόπως μίαν εἰκόνα «δριφτικοῦ ἰστοῦ». 'Ο διοψιδίος οὗτος εἶναι γενικῶς ἀναλλοίωτος καὶ μόνον δλίγοι κόκκοι γρανάτου ἐπικάθηνται ἐπ' αὐτοῦ. 'Ἐπίσης ἐμφανίζεται καὶ εἰς ἄλλος πυρόξενος ὑπὸ μορφὴν ὑπολειμμάτων ἐντὸς χλωρίτου, δὲ δόποιος ἀνεφέρθη ἡδη εἰς τοὺς γρανατιτικοὺς φοδινγίτας. Σχέσις μεταξὺ τῶν δύο πυροξένων δὲν φαίνεται νὰ ὑπάρχῃ. Πολλάκις δὲ εἰς δοκίδας διοψιδίος παρέχει τὴν περίεργον ἐντύπωσιν μιᾶς ὑστερογενοῦς ἀναπτύξεως, διότι παρουσιάζεται ἐντὸς μικρορωγμῶν καὶ πληροῦ κενά.

Τέλος, παρατηροῦνται εἰς δλας τὰς φοδινγιτικὰς φλέβας διάσπαρτοι κρύσταλλοι φοντιλίου μακροσκοπικῶν ὁρατοί, μὲ μέγιστον μῆκος 0,5 ἑκ. Πέριξ τῶν μελιτοχρόων κόκκων τοῦ φοντιλίου παρουσιάζεται πάντοτε μία περίεργος ἄλως ἐξ ἐνὸς ἀνισοτρόπου ὀρυκτοῦ χρώματος κιτρίνου (Πίν. XVIII Εἰκ. 2). Τὸ αὐτὸν ὀρυκτὸν εἰς τὰς στιλπνὰς τομὰς φαίνεται νὰ εἰσχωρῇ ἐντὸς τῶν μικρορωγμῶν τοῦ φοντιλίου, νὰ ἀντικαθιστᾷ τοῦτο καὶ νὰ ἀφήνῃ μόνον μικρὰς νησίδας φοντιλίου εἰς τὸ κέντρον. Εἶναι καταφανὲς ὅτι δημιουργεῖται εἰς βάρος τοῦ φοντιλίου. Κατόπιν ἀποχωρισμοῦ τοῦ ὀρυκτοῦ τούτου καὶ ἔξετάσεως του διὰ τῶν ἀκτίνων X εὑρέθη ὅτι πρόκειται περὶ περοβσκίτου ($\text{CaO} \cdot \text{TiO}_2$) καὶ μάλιστα τῆς ἀνισοτρόπου ποικιλίας. Περὶ τούτου θὰ διλήσωμεν ἐκτενέστερον κατωτέρῳ.

"Η λεπτὴ πρασινόφαϊος ζώνη ἡ εὑρισκομένη μεταξὺ φοδινγίτου καὶ σερπεντινιτῶν παρουσιάζει μακροσκοπικῶς ἐντελῶς διαφορετικὴν εἰκόνα. Κατ'

ἀρχὰς διακρίνονται ἐν αὐτῇ δύο τμήματα, τὸ μὲν ἐν ἐσωτερικόν, τὸ δὲ ἔξερον ἐξωτερικόν. Εἰς τὸ ἐσωτερικόν, δηλαδὴ εἰς τὴν ἄμεσον ἐπαφῆ μὲ τὸν φοδινγίτην, παρατηροῦνται εὐμεγέθεις κρύσταλλοι κλινοπυροξένων ἔξαλλοιωμένων πρὸς χλωρίτην. Ὡς ἐπὶ τὸ πλεῖστον ἡ χλωριτίωσις εἶναι δλικὴ καὶ μόνον δλίγα ὑπόλοιπα πυροξένων διατηροῦνται ἐντὸς τοῦ χλωρίτου. Ἐπ’ αὐτῶν τῶν «κρυστάλλων» χλωρίτου, ἐπικάθηνται μικροὶ διάσπαρτοι κόκκοι ὑδρογρανάτου. Εἰς τὸ ἐξωτερικὸν τμῆμα, δηλαδὴ εἰς τὸ τμῆμα ἐπαφῆς μὲ τοὺς σερπεντίνας, παρουσιάζεται καὶ πάλιν ὡς κύριον ὀρυκτὸν διχρωτής, ἀλλὰ εἰς χλωρίτης διάφορος τοῦ προαναφερθέντος, τουλάχιστον ὡς πρὸς τὸν ἰστὸν καὶ τὴν προέλευσιν. Ἐν ἀρχῇ λίαν λεπτόκοκκος, σχεδὸν ἴσοτροπος, ἀναπτύσσει βαθμηδὸν ἐναν κυψελώδη ἰστόν, μεταπίτων τελικῶς εἰς κυψελώδη σερπεντίνην. Ἀντὶ τοῦ ὑδρογροσσούλαρίου παρατηροῦνται δλίγοι χρωμιτικοὶ κόκκοι. Εἰς τὴν χλωριτικὴν ταύτην ζώνην καθὼς καὶ εἰς τοὺς παρακειμένους σερπεντίνας ἐγένοντο διαφορικαὶ θερμικαὶ ἀναλύσεις (D.T.A.) πρὸς διαπίστωσιν ἐνδεχομένης γενετικῆς των σχέσεως.

Ἡ ἐν λόγῳ ζώνη ἔχει μελετηθῆ ἀπὸ πολλοὺς ἔρευνητάς, οἱ περισσότεροι τῶν δοπίων τοποθετοῦν καὶ ἀνάγουν ταύτην εἰς αὐτὸ τοῦτο τὸ σῶμα τοῦ φοδινγίτου, χαρακτηροῦζοντάς την ὡς περιφερειακὸν τμῆμα τὸ δοποῖον ὑπέστη διαφορετικὴν ἐξέλιξιν (14). Ἐπὶ τοῦ προκειμένου νομίζομεν ὅτι ἡ μικροσκοπικὴ παρατηρησίς μᾶς ἐπιτρέπει νὰ ἔχωμεν ὠρισμένας ἐπ’ αὐτοῦ ἀντιρρήσεις. Ὅσον ἀφορᾶ τὸ λεπτὸν ἐσωτερικὸν τμῆμα τῆς ζώνης, ἵσως πράγματι νὰ ἀποτελῇ μέρος τοῦ φοδινγίτου, διότι παρουσιάζει μεγάλους χλωριτικούς κρυστάλλους οἱ δοποῖοι ἐλλείπονταν ἀπὸ τὸν σερπεντίνην καὶ διότι ὑπάρχουν γρανατιτικοὶ κόκκοι. Τὸ παχύτερον ὅμως ἐξωτερικὸν τμῆμα ἀνήκει διπωσδήποτε εἰς τὸ σῶμα τῶν σερπεντίνιτῶν, καθ’ ὃσον διακρίνεται σαφῶς ἡ βαθμιαία μετάβασις τοῦ σερπεντίνου πρὸς χλωρίτην καὶ ἐπιπροσθέτως ἡ ὑπαρξίας κόκκων χρωμάτου.

Ἡ μικροσκοπικὴ ἐξέτασις τῶν σερπεντίνιτῶν δὲν παρουσιάζει τίποτε τὸ ἰδιαίτερον. Πρόκειται περὶ τυπικῶν σερπεντίνιτῶν προερχομένων ἐκ τῆς σερπεντίνιωσεως πυροξενικῶν περιδοτιτῶν. Σπανίως διατηροῦνται ὑπόλοιπα πυροξένων καὶ διλβίνου ἐντὸς μιᾶς σερπεντίνικῆς μάζης κυψελώδους ἴστοῦ.

Πρέπει νὰ σημειωθῇ ὅτι εἰς τὴν περιοχὴν τῆς Βεργίνης ἡ φοδινγίτιωσις εἶναι τόσον ἐντονος ὥστε δὲν ἐπιτρέπει τὴν ἐξαγωγὴν σαφῶν συμπερασμάτων περὶ τῆς γενέσεως τῶν φοδινγίτων.

2) Ἀκτινογραφικὴ ἐξέτασις — Διαφορικὴ θερμικὴ ἀνάλυσις.

Ἐνταῦτα ἐξετάζονται ἐκτενέστερον ὠρισμένα χαρακτηριστικὰ ὀρυκτὰ τῶν φοδινγίτων φλεβῶν. Ἡ ἐξέτασις αὕτη, καθὼς καὶ αἱ ἐν τῷ ἐπομένῳ κεφαλαίῳ παρατηθέμεναι κηρυκαὶ ἀναλύσεις ἐγένοντο πρὸς σύγκρισιν τῶν φοδινγίτων τῆς Βεργίνης. Φορδὲ ἐκείνους τῶν ἄλλων περιοχῶν τῆς γῆς.

‘Η ἀκτινογραφικὴ μελέτη ἐβοήθησεν ἀποτελεσματικῶς εἰς τὴν ἀνεύρεσιν τοῦ γρανάτου τῶν φλεβῶν, καθ’ ὅτι ἡ μικροσκοπικὴ του παρατήρησις εἶναι δυσχερεστάτη, ἢν δχι ἀδύνατος. Ἀπεδείχθη ὅτι οὗτος ἀνήκει εἰς τὰ ἔνυδρα μέλη τῆς σειρᾶς τῶν γρανατῶν, εἶναι δὲ ὑδρογροσσουλάριος. Ἡ σταθερὰ τοῦ πλέγματος ὑπολογισθεῖσα εὑρέθη ὅτι εἶναι $\alpha = 12,0410 \text{ \AA}$, εἶναι δὲ σαφῶς μεγαλυτέρα ἐκείνης τοῦ ἀνύδρου γροσσουλαρίου ($\alpha = 11,85 \text{ \AA}$) καὶ ἐμπίπτει μεταξὺ τῶν τιμῶν δύο ὑδρογροσσουλαρίων: τοῦ hibschite $\text{Ca}_3\text{Al}_2\text{Si}_2\text{O}_8(\text{OH})_x$, μὲν $\alpha = 12 \text{ \AA}$ καὶ τοῦ plazolite $3\text{CaO} \cdot \text{Al}_2\text{O}_3 \cdot 2(\text{SiO}_4\text{CO}_3) \cdot 2\text{H}_2\text{O}$ μὲν $\alpha = 12, 14 \text{ \AA}$, πλησιάζουσα κατὰ πολὺ τὴν πρώτην τοιαύτην.

Ἐκ τῶν ἀνωτέρω συμπεραίνεται ὅτι δὲ ὑδρογροσσουλάριος τῶν ἡμετέρων φοδινγιτῶν εἶναι εἰς hibschite μὲν ἐλαφρῶς ηὕξημένην πλεγματικὴν διάστασιν.

Σημείωσις: Ἡ σημαντικὴ αὐξῆσις τῆς σταθερᾶς τοῦ πλέγματος τοῦ hibschite, ὡς πρὸς τὸν ἀνυδρόν γροσσουλάριον ($\text{Ca}_3\text{Al}_2\text{Si}_2\text{O}_8$), προκαλεῖται ἐκ τῆς ὑποκαταστάσεως ὑπὸ διμάδων (OH), τῶν τετραέδρων SiO_4 .

Ἡ ὑπαρξία hibschite ἐντὸς φοδινγιτῶν ἔχει ἥδη ἐπισημανθῆ (4,8). Οἱ πλεῖστοι διμάς τῶν συγγραφέων ὅμιλοι ἀπλῶς περὶ ἐνὸς ὑδρογροσσουλαρίου, ὡς π.χ. δ. S. A. BILGRAMI (2) ἀναφέρει διὰ τοὺς φοδινγίτας τοῦ Πακιστάν. Αξίζει διμάς νὰ σημειώσωμεν μίαν ἄλλην περίπτωσιν καθ’ ἦν, εἰς φοδινγίτας τοῦ Πακιστάν (Δ. τοῦ Dargai), ἔτεροι ἐφευνηταὶ (12) ἀνεύδον γροσσουλάριον καὶ οὐχὶ ὑδρογροσσουλάριον, μὲν σταθεράν πλέγματος $\alpha = 11,82 \text{ \AA}$, ἥτοι ἀκόμη μικροτέραν ἐκείνης τοῦ γροσσουλαρίου. Τέλος ἀναφέρομεν ὅτι εἰς παρόμοια πετρώματα ἐν Πολωνίᾳ (6) περιγράφεται ἡ συνύπαρξία γροσσουλαρίου καὶ ἐνὸς χρωμιούχου ὑδρογροσσουλαρίου τοῦ διποίου ἡ σταθερὰ πλέγματος εἶναι $\alpha = 11,93 \pm 0,05 \text{ \AA}$.

Τὸ δεύτερον κατὰ σειρὰν ὁρυκτὸν τὸ διποίον χρόνει περαιτέρω ἔξετάσεως εἶναι δὲ περοβσκίτης. Ὡς ἥδη ἀνεφέρθη ἀποτελεῖ προϊὸν ἔξαλλοιώσεως τοῦ φοντιλίου. Πρέπει νὰ σημειωθῇ ὅτι οὐδαμοῦ εἰς παρόμοια πετρώματα ἀναφέρεται μία τοιαύτη περίπτωσις, ἥτις εἶναι λίαν ἐνδιαφέρουσα ἐκ τοῦ γεγονότος ὅτι ἀποτελεῖ μίαν ἀκόμη ἐνδειξιν τῆς ἀσβεστιτικῆς μετασωματώσεως τῶν πετρωμάτων τούτων.

Ἀξιον προσοχῆς ἀποτελεῖ τὸ γεγονός ὅτι παρουσιάζει οὗτος σαφῆ ἀνισοτροπίαν, ἐνῷ συνήθως ἐμφανίζεται ὡς ίσοτροπος ἥ ἐλαφρῶς ἀνισότροπος. Ἀκτινογράφημα κόνεως ἀπέδειξεν ὅτι εἶναι δὲ τυπικὸς ψευδοκυβικὸς περοβσκίτης μὲν $\alpha = 15,25 \text{ \AA}$. Εἰς τὸν πίνακα I παρατίθενται αἱ κύριαι τιμαὶ τῶν «d» τοῦ ὑπὸ μελέτην περοβσκίτου καὶ αἱ ἀντίστοιχοι ἐκ τῶν δελτίων A. S. T. M.

Π Ι Ν Α Ε Ι.
Τιμαὶ «d» περοβσκίτου

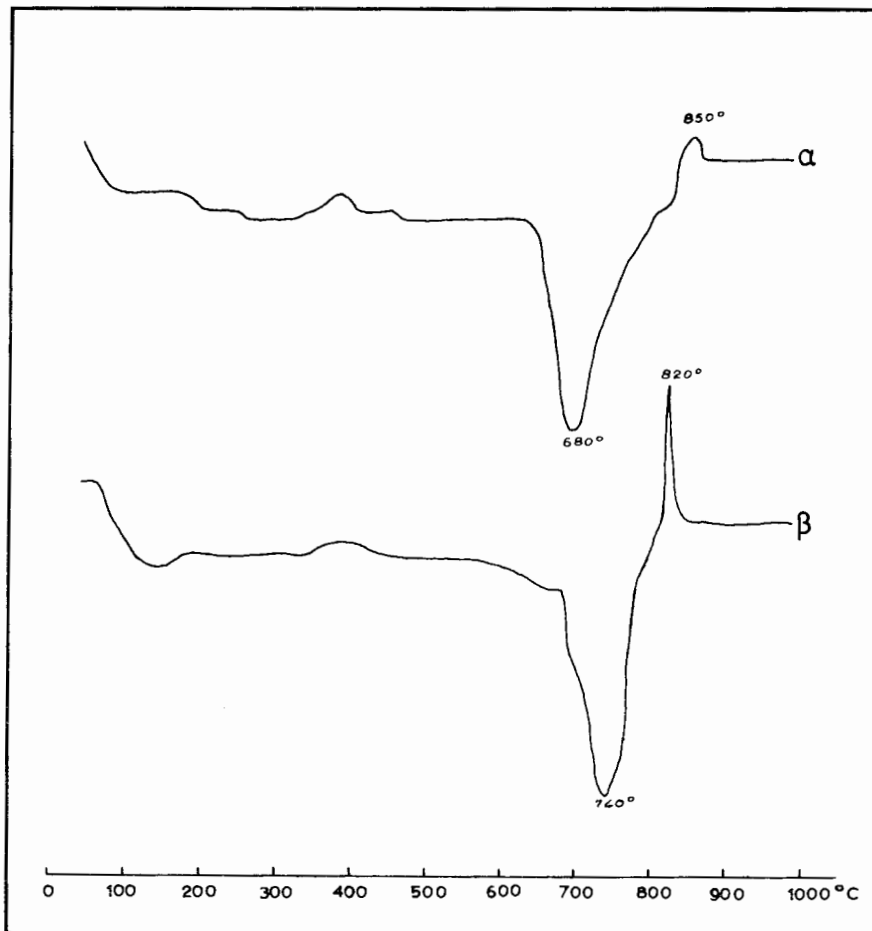
Κατὰ Α.Σ.Τ.Μ.		Δεῖγμα ἐκ Βεροίας
I	d Å	d Å
40	3,81	3,83
10	3,41	3,43
10	2,98	2,99
100	2,70	2,698
10	2,41	—
30	2,30	—
30	2,20	2,211
20	2,12	—
90	1,91	1,910
10	1,71	—
10	1,67	1,688
70	1,56 }	1,556
70	1,55 }	—
60	1,349	1,354
50	1,210	1,207
10	1,110 }	—
10	1,100 }	1,106
10	1,023	1,021
40	1,018 }	0,935
40	0,9554 }	—
40	0,9011	0,902
20	0,8549	0,860

Ο χλωρίτης τῆς χλωριτικῆς ζώνης τῶν ροδινγιτῶν, μὴ δυνάμενος νὰ ἀναγνωρισθῇ σαφῶς διὰ τῆς δπτικῆς μεθόδου, ἐμελετήθη διὰ τῶν ἀκτίνων X καὶ D.T.A.

Τὸ θερμοδιάγραμμα, ἐμφανίζον μίαν λσχυρὰν ἐνδόθερμον ἀπόκλισιν εἰς τὸν 680° C καὶ μίαν ἀσθενῆ ἔξωθερμον τοιαύτην εἰς τὸν 850° C, χαρακτηρίζει ἔναν χλωρίτην λίαν πιωχὸν εἰς σίδηρον, ἰδίως Fe^{2+} (11). Ἡ θερμοκρασία τῶν 680° C τῆς ἐνδοθερμικῆς ἀποκλίσεως εἶναι μεγάλη — χαρακτηριστικὸν τῶν πιωχῶν εἰς Fe^{2+} φυλλοπυριτικῶν δρυκτῶν τῶν 14 Å — καὶ πλησιάζει εἰς τὸ δριον θερμοκρασίας τῆς ἐνδοθέρμου ἀποκλίσεως τῶν μαγνησιούχων δρυκτῶν τῶν 7 Å (σερπεντίναι).

Ἡ χημικὴ ἀνάλυσις τῆς χλωριτικῆς ζώνης (πίναξ III), ἡτις ἀποτελεῖται ἀποκλειστικῶς ἀπὸ χλωρίτην, ἔρχεται εἰς συμφωνίαν μὲ τὰ ἀνωτέρω λεχθέντα, καθ' ὅτι ὁ μὲν σίδηρος εἶναι εἰς μικρὰν ἀναλογίαν ($FeO = 1,56\%$, $Fe_2O_3 = 2,03\%$), τὸ δὲ μαγνήσιον εὐρίσκεται εἰς ἀρκετὴν περιεκτικότητα, πλησιάζουσαν ἐκείνην τῶν σερπεντινιτῶν ($MgO = 34,80\%$). Ἀλλὰ καὶ ἡ μικροσκοπικὴ ἔξετασις καθ' ὥν ὁ χλωρίτης φαίνεται νὰ μεταπίπτῃ βαθμηδόν εἰς σερπεντίνην, ἐπιβεβαιώνει τὴν ὡς ἄνω παρατήρησιν.

Είς τὸ σχῆμα 1 εἰκονίζονται, τὸ θερμοδιάγραμμα τοῦ χλωρίτου τῆς χλωριτικῆς ζώνης (α) καὶ τὸ ἀντίστοιχον τοῦ σερπεντίνου τῶν σερπεντινιτῶν (β).



Σχ. 1. Διαγράμματα D.T.A. χλωρίτου (α) καὶ σερπεντίνου (β).

Τὸ ἀκτινογραφικὸν διάγραμμα κόνεως χλωρίτου παρουσιάζει γραμμὰς γειτονικὰς τοῦ χλωρίτου sheridanite. Περὶ sheridanite εἰς τὴν χλωριτικὴν ζώνην τῶν φοδινγιτῶν διμιλεῖ ὁ M. A. KAISER (12) δστις δύως εἰς διάγραμμα D.T.A. τοποθετεῖ τὴν μὲν ἐνδόθερμον ἀπόκλισιν εἰς τὸν 670° C, τὴν δὲ ἐξώθερμον εἰς τὸν 870° C. Ὁ M. VUAGNAT (14) ἀναφέρει ἀπλῶς δτι ὁ χλωρίτης οὗτος εἶναι πτωχὸς εἰς σίδηρον.

B) Περιοχὴ Ροδιανῆς.

Εἰς τὴν περιοχὴν ταύτην οἱ φοδινγῖται εἶναι λίαν διαδεδομένοι καὶ

έμφανίζονται πάντοτε ίνπό τὴν μορφὴν λεπτῶν φλεβῶν. Ἐνταῦθα ἡ ροδινγίτωσις δὲν εἶναι καθολικὴ καὶ τοιουτορόπως διατηρεῖται ὁ ἵστος τοῦ ἀρχικοῦ πετρώματος. Ἡ ποικιλία τῶν ροδινγιτῶν μὲ κύριον συστατικὸν τὸν βεζουβιανόν, ἡτις ἐμφανίζεται εἰς τὴν περιοχὴν Βεροίας (εὗθρυπτοι ροδινγίται), ἐλλείπει παντελῶς.

Ροδινγιτικὰι φλέβες πολλάκις παρουσιάζονται πλησίον χρωματικῶν ἐμφάνισεων, εἰς τινας δὲ περιπτώσεις διασχίζουν τὸ χρωματικὸν μετάλλευμα. Ἀξιον προσοχῆς ἀποτελεῖ τὸ γεγονὸς ὅτι ὅμοῦ μὲ τὰς ροδινγιτικὰς φλέβας παρουσιάζονται λεπτὰ πυροξενικαὶ φλέβες, αἱ ὅποιαι μακροσκοπικῶς οὐδὲ λως διακρίνονται τῶν πρώτων.

Ἡ μικροσκοπικὴ παρατηρησις τῶν ροδινγιτῶν ἀπέδειξεν ὅτι ἀποτελοῦνται βασικῶς ἐκ τῶν ίδιων δρυκτολογικῶν συστατικῶν τὰ ὅποια ἀπαντῶνται καὶ εἰς τοὺς ροδινγίτας τῆς περιοχῆς Βεροίας ἥτοι : γρανάται, διογύδιος, βεζουβιανός, χλωρίτης. Ὁ γρανάτης εἶναι ἐπίσης εἰς ὑδρογροσουλάριος hibschite. Κατωτέρῳ περιγράφονται ἐν συντομίᾳ οἱ ροδινγίται διαφόρων θέσεων τῆς περιοχῆς Ροδιανῆς :

1) Ἰ τιά : Οἱ ροδινγίται τῆς θέσεως ταύτης εἶναι ὅμοιοι τῶν συμπαγῶν τοιούτων τῆς περιοχῆς Βεροίας, μὲ κύριον δρυκτολογικὸν συστατικὸν τὸν ὑδρογροσουλάριον. Λὲν παρατηρεῖται βεζουβιανός, οἱ δὲ πυρόξενοι εἶναι ὀλίγοι.

Ἐκπληξιν ἀπετέλεσεν ἡ ὑπαρξίας ἐντὸς τῶν ροδινγιτῶν δρυκτῶν τοῦ χαλκοῦ, καθ' ὅτι οὗτος οὐδόλως ἀναφέρεται ὑπὸ τῶν ἐρευνητῶν, ὡς κοβελλίνου ὑπὸ μορφὴν λεπτοτάτων φλεβιδίων καὶ χαλκοπυρίτου ὑπὸ μορφὴν μικροτάτων διασπάρτων κόκκων. Ἐπίσης παρετηρήθη σιδηροπυρίτης εἰς ἔλαχίστην ποσότητα. Χαρακτηριστικὸν τέλος εἶναι ὅτι δὲν ἐμφανίζονται τὰ δρυκτὰ τοῦ τιτανίου δουτίλιον καὶ περοβοσκίτης, ὡς εἰς τοὺς ροδινγίτας τῆς περιοχῆς Βεροίας, ἀλλὰ Ἰλμενίτης. Ἡ ροδινγιτίωσις εἶναι πλήρης καὶ δὲν διακρίνεται ὁ ἵστος τοῦ ἀρχικοῦ πετρώματος.

2) Π α πᾶ - π ε τ ρ α : Οἱ ἀπαντώμενοι ἐνταῦθα ροδινγίται παρουσιάζουν ἰδιαίτερον ἐνδιαφέρον. Μακροσκοπικῶς ἐμφανίζονται μὲ σκοτεινοτέροιν τῶν ἄλλων χροιάν, γκριζοπράσινοι ἔως γκριζόλευκοι, διασχίζοντες ἐνίοτε συγκεντρώσεις χρωματικοῦ μεταλλεύματος συμπαγοῦς ἢ διασπάρτου τύπου.

Ἐκεῖνο ὅμως τὸ ὅποιον παρουσιάζει ἰδιαίτερον ἐνδιαφέρον εἶναι ὁ «γαββρικὸς ἵστος» τοῦ πετρώματος. Μεταξὺ τῶν ἀφθόνων πυροξενικῶν κρυστάλλων παρεμβάλλονται συμπαγῆ γρανατικὰ συσσωματώματα καὶ ἐν ἴσοτροπον δρυκτὸν ἐπὶ τοῦ ὅποιού ἐπικάθηνται λεπτοὶ κόκκοι γρανατῶν. Ἐνδέχεται τὸ ἴσοτροπον τοῦτο δρυκτὸν νὰ εἶναι εἰς ἀστριος ἔξαλλοιωθεὶς πρὸς γρανάτας, ὡς τοῦτο ἀναφέρεται ὑπὸ πολλῶν ἐρευνητῶν. Δὲν δυνάμεθα, ὅμως, μετά βεβαιότητος νὰ ὑποστηρίξωμεν τὴν ἀποψιν ταύτην, καθ' ὅτι δὲν παρετη-

ρήσαμεν εὐχρινεῖς κρυστάλλους ἀστρίων. Ἀντιθέτως δύμως παρετηρήσαμεν μίαν ἔξελιξιν πυροξενικῶν κρυστάλλων πρὸς ὑδρογρανάτας. Οἱ τελευταῖοι ἐπικάθηνται κατ' ἀρχὴν ἐπὶ τῶν πυροξενικῶν σχισμῶν, ἀκολούθως δὲ ἐφ' ὅλης τῆς ἐπιφανείας, μετατρεπομένων τελικῶς τῶν πυροξενινών εἰς ἓν μεῖγμα γρανάτου - χλωρίτου, ἔνθα δλίγα μόνον ὑπόλοιπα τούτων διατηροῦνται.

Ο βεζουβιανὸς εἶναι εἰς μικρὰν ἀναλογίαν καὶ ἐμφανίζεται κυρίως ἐντὸς λεπτοτάτων ρωγμῶν τοῦ πετρώματος. Ὡς ἀδιαφανῆ δρυκτὰ διακρίνονται ἐλάχιστοι μικροὶ κόκκοι σιδηροπυρίτου καὶ χαλκοπυρίτου.

Εἰς μίαν περίπτωσιν καθ' ἥν μία φοδινγιτικὴ φλέψη διέρχεται διὰ μέσου χρωμιτικῆς συγκεντρώσεως, ὁ χρωμίτης εἰς τὴν ἐπαφὴν παρουσιάζει τὰς χαρακτηριστικὰς σιδηρούχους ζώνας αὐτοῦ («σκοτεινὰ περιφερειακαὶ ζῶναι»), τῶν δύοιν τῇ γένεσις κατὰ μίαν ἀποψιν συνδέεται μὲν ὑδροθερμικὰ διαλύματα. Γενικῶς ἡ φοδινγιτίωσις τῶν φλεβῶν δὲν ἡτο πλήρης.

3) Καλύβια : Ἀξιοπαρατήρητον εἶναι τὸ γεγονός ὅτι εἰς τὴν θέσιν ταύτην καὶ πλησίον τῶν φοδινγιτικῶν φλεβῶν ἐμφανίζονται ἄφθονοι λεπταὶ ἀνοικτόχροοι πυροξενικαὶ φλέβες, αἱ δύοις πολλάκις ἔξελήρθησαν ὡς φοδινγῖται. Εἰς τὰς πυροξενικὰς ταύτας φλέβας ἐγένεντο λεπταὶ τομαὶ πρὸς διαπίστωσιν μᾶς ἐνδεχομένης γενετικῆς σχέσεως αὐτῶν μὲ τοὺς φοδινγίτας. Ή κυριωτέρα παρατήρησις ἡτις ἐγένετο ἐπ' αὐτῶν, εἶναι ἡ ὑπαρξία ἐλαχίστων καὶ μικροτάτων ργανατῶν ἐπὶ τῶν μεγάλων πυροξενινών (διοψιδίος). Τοῦτο βεβαίως, χωρὶς νὰ ἀποτελῇ ἀπόδειξιν, εἶναι μία ἐνδειξις περὶ τῆς πιθανῆς προελεύσεως φοδινγιτῶν καὶ ἐκ πυροξενικῶν φλεβῶν.

Ο ἴστος εἶναι ἄλλοτε κοκκώδης «γαβριικός» καὶ ἄλλοτε ὑποφιτικὸς «διαβασικός». Κύρια δρυκτολογικὰ συστατικὰ εἶναι ὁ ὑδρογροσσονιάριος καὶ οἱ πυροξενοί. Ο βεζουβιανὸς εἶναι ἐπουσιώδης καὶ πληροῖ, ὡς ἐπὶ τὸ πλεῖστον, μικρορωγμάτα τοῦ πετρώματος.

4) Μότσαλη : Οἱ φοδινγίται τῇ γένεσις ταύτης εἶναι καθ' ὅλα ὅμοιοι τῶν τῆς θέσεως Παπᾶ - πέτρα. Διασχίζουν πολλάκις χρωμιτικὸν μετάλλευμα καὶ διατηροῦν τὸν «γαβριικὸν» ἴστον.

5) Καρούτια, Ζυγόστι, Νταρνταμπάδι, Περιβόλια, Μεταλλεῖον χρωμίτον Ροδιανῆς : Εἰς τὰς ὡς ἄνω θέσεις ἀπλῶς ἐπισημαίνομεν τὴν ὑπαρξίν φοδινγιτῶν, καθ' ὅτι ἡ δειγματοληψία δὲν ἐγένετο ὑφ' ἡμῶν. Λεπταὶ τομαὶ φοδινγιτῶν ἐκ τῶν τεσσάρων πρώτων θέσεων μᾶς ἐδόθησαν πρὸς μελέτην ὑπὸ τοῦ κ. Α. ΣΤΑΜΑΤΑΤΟΥ, ὡς καὶ ἓν δεῖγμα φοδινγίτου ἐκ τοῦ παλαιοῦ μεταλλείου τοῦ χωρίου Ροδιανῆς ὑπὸ τοῦ κ. ΕΥΣΤ. ΧΙΩΤΗ, μεταλλειολόγων - μηχανικῶν ἀμφοτέρων.

Εἰς τὰς θέσεις ταύτας, πλὴν τῆς τελευταίας, παρατηρεῖται βεζουβιανός, ὅστις ἔνιοτε, ἀποτελεῖ τὸ κύριον δρυκτολογικὸν συστατικὸν τῶν φοδινγιτῶν (Καρούτια-Νταρνταμπάδι).

Γ) Νήσος Λέσβος.

Είς τὴν περιοχὴν Κάτω Βοῦρκος καὶ ἐντὸς τῶν σερπεντινικῶν μαζῶν ἐμφανίζονται λεπτὰ φλέβες φοδινγιτῶν πάχους 1 ἔως 10 ἑκ. Μακροσκοπικῶς παρουσιάζουν μίαν χονδροκοκώδη νφὴν καὶ γκριζόλευκον χροιάν. Ὅπο τὸ μικροσκόπιον διακρίνεται σαφῶς ὁ γαββρικὸς ἵστος τοῦ πετρώματος. Εὑμεγέθεις πυρόξενοι (διαλλαγὴς) καὶ ὑδρογρανάται ἀποτελοῦν τὰ κύρια δρυκτολογικὰ συστατικά. Ὁ βεζουβιανὸς εἶναι ἐλάχιστος. Ἡ διὰ τῶν ἀκτίνων X μελέτη ἀπέδειξεν ὅτι ὁ ὑδρογρανάτης εἶναι ἐπίσης εἰς ὑδρογροσσούλαριος hibschite μὲ σταθερὰν πλέγματος $a = 12,0017 \text{ Å}$.

Δ) Μικροκλεισούρα Γρεβενῶν, Χωροπάνιον, Ἐλαφίνα Ἡμαθίας.

Δείγματα ἐκ τῶν προαναφερόμενῶν περιοχῶν προσεκομίσθησαν ὑπὸ τῶν κ. κ. Δρ. Δ. ΧΑΡΑΛΑΜΠΟΥΣ καὶ Κ. ΚΟΥΒΕΛΟΥ, γεωλόγων παρὰ τῷ Ι.Γ.Ε.Υ.

Ίδιαίτερον ἐνδιαφέρον παρουσιάζει ὁ φοδινγίτης τῆς Μικροκλεισούρας Γρεβενῶν, καθ' ὃ, τι οὗτος δὲν ἐμφανίζει τὰ τυπικὰ προαναφερόθέντα χαρακτηριστικὰ τῶν φοδινγιτῶν. Μακροσκοπικῶς εἶναι ἐν συμπαγὲς λευκὸν χονδροκοκῶδες πέτρωμα. Ἡ μικροσκοπικὴ διάγνωσίς του εἶναι δυσχερεστάτη, διότι οὐδόλως διακρίνονται τὰ δρυκτολογικά του συστατικά. Ἀποτελεῖται ἀπὸ ἐν ἴσοτροπον δρυκτὸν καὶ δλίγας νησίδας χλωρίτου. Ἡ διὰ τῶν ἀκτίνων X μελέτη τοῦ ἴσοτροπον τούτου δρυκτοῦ ἀπέδειξεν ὅτι πρόκειται περὶ ὑδρογροσσούλαρίου. Δηλαδὴ παρατηρεῖται μία πλήρης ψευδομόρφωσις κατὰ δρυκτόν, — τὸ δποῖον ὄμιως δὲν ἀναγνωρίζεται, πιθανῶς ἀστριος — ὑπὸ ὑδρογροσσούλαρίου, ὅστις δὲν παρουσιάζει τὴν χαρακτηριστικὴν μορφήν του.

Τέλος παρατηρεῖται μία ἔντονος κατάτμησις τοῦ πετρώματος, ἥτις ἐπέφερεν ἀποχωρισμὸν τῶν δρυκτολογικῶν συστατικῶν κατὰ ἀνεξάρτητα τεμαχίδια, τὰ δποῖα ἐπανασυνεκολλήθησαν διὰ ἀσβεστιτικοῦ ὑλικοῦ (τεκτονικὸς παράγων).

Ο ἐκ τῆς θέσεως Τεπόζιτο φοδινγίτης — μεταξὺ χωρίου Ἐλαφίνα καὶ Πολυδένδρου — παρουσιάζει δλα τὰ τυπικὰ δρυκτολογικὰ συστατικὰ τῶν φοδινγιτῶν ἥτοι πυροξένους, ὑδρογρανάτας, βεζουβιανόν. Ἰστὸς κοκκώδης γαββρικός.

Ἀντιθέτως ὁ εἰς Χωροπάνιον, θέσις Μπατσούλα, ἐμφανιζόμενος φοδινγίτης παρουσιάζει ὑποφιτικὸν ἵστον. Δοκίδες πυροξένων καὶ ἐνὸς ἐτέρου ἴσοτροπου δρυκτοῦ — τὸ δποῖον προφανῶς ἀντιπροσωπεύει παλαιὸν ἀστριον—διασταυροῦνται, σχηματίζουσαι πλέγμα. Ἐντὸς τῶν πλεγματικῶν διακένων ἀναπτύσσονται ἴδιομορφοι κόκκοι γρανάτου.

Σύγκρισις τῶν ροδινγιτῶν τῶν διαφόρων περιοχῶν.

Ἐκ τῶν ἀνωτέρω ἐκτεθέντων συμπεραίνεται ὅτι οἱ ροδινγῖται τῶν διαφόρων προαιναφερθεισῶν περιοχῶν ἔχουν πολλὰ κοινὰ χαρακτηριστικὰ καὶ δλίγας διαφοράς, ἦτοι :

— Ἀπαντες οἱ μελετηθέντες ροδινγῖται εἶναι φλεβικοὶ σχηματισμοὶ καὶ μόνον διὰ τοὺς τῆς Μικροκλεισούρας δὲν δυνάμεθα νὰ ἀποφανθῶμεν μετὰ βεβαιότητος, λόγῳ ἐλλείψεως στοιχείων.

— Βασικῶς ἀποτελοῦνται δλοὶ ἐκ τῶν ἰδίων δρυκτολογικῶν συστατικῶν (νδρογροσσούλαριος, διοφίδιος, βεζούβιανὸς) καὶ μόνον ἡ περιεκτικότης τούτων μεταβάλλεται. Οἱ ροδινγῖται, ὅμως, μὲ κύριον συστατικὸν τὸν βεζούβιανόν, ὡς οἱ τῆς Βεργίνης, ἀποτελοῦν σπανίαν περίπτωσιν.

— Ὁ νδρογροσσούλαριος, ὅστις ἀποτελεῖ τὸ βασικὸν δρυκτολογικὸν συστατικὸν τῶν πετρωμάτων τούτων, φαίνεται νὰ δημιουργῆται εἰς ἄπαντας τοὺς ροδινγῖτας εἰς βάρος ἐνὸς δρυκτοῦ καὶ κατὰ πᾶσαν πιθανότητα ἀστρίου. Εἰς ὀρισμένας, ὅμως, περιπτώσεις, ὡς εἰς τὰς περιοχὰς Καλύβια καὶ Παπᾶ-πέτρα, φαίνεται νὰ ἀναπτύσσεται καὶ εἰς βάρος πυροξένων.

— Ὁ πυροξένος ἀποτελεῖ δρυκτὸν τοῦ ἀρχικοῦ πετρώματος τῶν ροδινγιτῶν, πλὴν τῶν τῆς Βεργίνης εἰς τοὺς δροίους παρατηρεῖται καὶ νεοσχηματισμὸς αὐτοῦ ὅμοι μετὰ βεζούβιανοῦ.

— Εἰς τοὺς περισσοτέρους ροδινγῖτας διατηρεῖται σαφῶς ὁ ἀρχικὸς γαβθρικὸς ἴστος τοῦ πετρώματος, ὡς εἰς τοὺς τῆς νήσου Λέσβου καὶ εἰς τοὺς τῶν περιοχῶν τῆς Ροδιανῆς, Παπᾶ-πέτρα, Μότσαλη καὶ Καλύβια. Εἰς τινας ὅμως ροδινγῖτας, ὡς τοῦ Χωροπανίου, Μότσαλη καὶ μερικῶς τῆς Βεργίνης, ἐμφανίζεται εἰς ὑποφιτικὸς ἴστος.

— Ἡ ἀπουσία πυροξένων ἐκ τῶν ροδινγιτῶν τῆς Μικροκλεισούρας μᾶς ὀδηγεῖ εἰς τὸ συμπέρασμα δτι, πιθανὸν ἡ προέλευσις τούτων νὰ εἴναι διάφορος ἐκείνων τῶν ἄλλων περιοχῶν.

— Γενικῶς δηλαδή, διὰ τοὺς περισσοτέρους τῶν ροδινγιτῶν ἡ ἐκ γάβθρων προέλευσίς των είναι καταφανής. Ὁλίγοι ὅμως ἔξ αὐτῶν δεικνύουν μίαν προέλευσιν ἔξ ἐνὸς ὑποηφαιστειακοῦ φλεβικοῦ πετρώματος τύπου δολερίτου. Ἡ ἐκ πυροξενίτου προέλευσις είναι ἐπίσης πιθανὴ διὰ τὴν περίπτωσιν τῶν τῆς θέσεως Καλύβια.

III. ΧΗΜΙΣΜΟΣ

Χημικαὶ ἀναλύσεις ἔγενοντο μόνον διὰ τοὺς ροδινγῖτας τῆς περιοχῆς Βεργίνης. Ἡ προτίμησις αὗτη ὀφείλεται εἰς τὸ ὅ,τι ἐκεὶ ἐμφανίζονται, ὡς ἥδη ἀνεφέρθη, διάφορα στάδια ροδινγιτιώσεως (ροδινγῖται μὲ νδρογροσσούλαριον ἔως ροδινγῖται μὲ βεζούβιανόν). Ἐγένοντο ἐν τῷ συνόλῳ 5 πλήρεις χημικαὶ ἀναλύσεις εἰς τὰ ἔξης δείγματα :

— Εἰς ροδινγίτην ἀποτελούμενον σχεδὸν ἀποκλειστικῶς ἀπὸ νδρογροσσούλαριον (δεῖγμα 1).

— Εἰς τυπικὸν τῆς περιοχῆς ροδινγίτην μὲ κύριον συστατικὸν καὶ πάλιν τὸν ὑδρογροσουλάριον (δεῖγμα 2).

— Εἰς ροδινγίτην μὲ κύριον συστατικὸν τὸν βεζοίβιανόν (δεῖγμα 3).

— Εἰς τὴν χλωριτικὴν ἄλλω τῶν ροδινγίτῶν τοῦ δείγματος 2 (δεῖγμα 4).

— Εἰς τοὺς σερπεντινίτας (δεῖγμα 5).

Εἰς τὸν πίνακα II δίδονται αἱ χημικαὶ ἀναλύσεις τῶν τριῶν δειγμάτων ροδινγίτῶν.

Αἱ χημικαὶ ἀναλύσεις διενηργήθησαν εἰς τὸ χημεῖον τοῦ I Γ.Ε.Υ. ὑπὸ τοῦ χημικοῦ κ. Χ. ΠΕΤΡΑΚΟΓΙΑΝΝΗ.

Π Ι Ν Α Ζ ΙΙ

Χημικαὶ ἀναλύσεις ροδινγίτῶν περιοχῆς Βεργίνης.

	Δεῖγμα 1 Ροδινγ. μὲ ὑδρογρ.	Δεῖγμα 2 Ροδινγ. μὲ ὑδρογρ. πυρόξεν., βεζούβ.	Δεῖγμα 3 Ροδινγ. μὲ βεζούβ.
SiO ₂	33,60	33,90	44,06
FeO	1,72	1,36	0,39
Fe ₂ O ₃	24,49	15,46	3,12
Al ₂ O ₃	4,14	6,18	6,56
CaO	25,56	19,70	33,20
MgO	4,46	13,88	7,96
TiO ₂	0,69	0,88	0,59
MnO	0,03	0,06	0,16
Cr ₂ O ₃	—	—	—
NiO	—	—	—
K ₂ O	0,25	0,22	0,22
Na ₂ O	0,94	0,86	0,89
SO ₃	0,09	0,07	0,09
P ₂ O ₅	0,13	0,13	0,18
Απώλεια εἰς 950°C	2,76	5,93	1,38

Σημείωσις : Χημικὴ ἀνάλυσις χαλκοῦ δὲν ἐγένετο, καθ' ὅσον οὐδαμοῦ εἰς τὴν βιβλιογραφίαν ἀναφέρεται ὑπαρξία. Σε ἐντὸς ροδινγίτῶν. Παρ' ὅλα ταῦτα εἰς τινὰ δείγματα ἐκ τῆς Ροδιανῆς ἐπεσημάνθη οὗτος μικροσκοπικῶς, ὑπὸ τὴν μορφὴν κοβελλίνου καὶ χαλκοπυρίτου.

Αἱ χημικαὶ αὗται ἀναλύσεις ἔρχονται εἰς ἀπόλυτον σχεδὸν συμφωνίαν μὲ τὰς ἀναφερομένας εἰς τὴν βιβλιογραφίαν.

Ως εἰς τὸν πίνακα II ἐμφαίνεται, ἡ χημικὴ σύστασις τῶν πετρωμάτων τούτων εἶναι πολὺ ἴδιόρρυθμος. Χαρακτηρίζονται ἀπὸ χαμηλὴν περιεκτι-

κότητα εἰς SiO_2 και ἀλκαλία, κυρίως δμως ἀπὸ ὑψηλὴν περιεκτικότητα εἰς CaO .

Εἰς τὸ αὐτὸ συμπέρασμα καταλήγουν πολλοὶ ἐρευνηταί. Ὁ S. CRNČEVIĆ (4) δίδει τιμὰς τοῦ CaO αἱ δποῖαι κυμαίνονται ἀπὸ 24 ἕως 31 %, τοῦ SiO_2 ἀπὸ 32 ἕως 40 %, τῶν δὲ ἀλκαλίων χαμηλοτέρας τοῦ 0,1 %. Ἐπιπροσθέτως παρατηρεῖ και μίαν ὑψηλὴν περιεκτικότητα τοῦ Al_2O_3 (12 - 17 %), ἥτις δὲν εἶναι τόσον ἔντονος εἰς τὰ ήμετερα δείγματα. Τὸ αὐτὸ παρατηρεῖται και εἰς τὰς χημικὰς ἀναλύσεις τὰς δποίας δίδει ὁ M. A. KAISER (12) : $\text{CaO}=32,50\%$, $\text{SiO}_2=36,36\%$, $\text{Al}_2\text{O}_3=25,64\%$, $\text{Na}_2\text{O}+\text{K}_2\text{O}=0,63\%$, ὡς και ἄλλοι συγγραφεῖς (10, 14).

Ἐκ τῶν χημικῶν λοιπὸν ἀναλύσεων καταφαίνεται ὅτι οἱ φοδινγίται εἶναι ὑπερβασικὰ πετρώματα πλούσια εἰς CaO , στερούμενα σχεδὸν παντελῶς ἀλκαλίων.

Διὰ τὴν ἐρμηνείαν τοῦ χημισμοῦ τῶν ἰδιορρύθμων αὐτῶν πετρωμάτων και τῆς γενέσεώς των, εἶναι ἀπαραίτητος ἡ χημικὴ ἔξέτασις και τῶν ἐν ἐπαφῇ εὑρισκομένων πετρωμάτων, ἵτοι τῆς περιφερειακῆς χλωριτικῆς ζώνης και τῶν σερπεντινιτῶν. Εἰς τὸν πίνακα III παρατίθενται εἰς μὲν τὸ πρῶτον σκέλος αἱ χημικὰς ἀναλύσεις τοῦ φοδινγίτου τοῦ δείγματος 2, τῆς χλωριτικῆς περιφερειακῆς ζώνης και τοῦ σερπεντινίτου τῆς περιοχῆς Βεργίνης, εἰς δὲ τὸ δεύτερον σκέλος τοῦ πίνακος, ἀντίστοιχου χημικὰς ἀναλύσεις δοθεῖσαι ὑπὸ M. VUAGNAT (14), πρὸς σύγκρισιν. Ἡ δμοιότης τῶν ήμετέρων χημικῶν ἀναλύσεων μετὰ τῶν ἀντιστοίχων ἐκ τῆς βιβλιογραφίας εἶναι καταφανής.

Αἱ χημικὰς ἀναλύσεις ἀνταποκρίνονται πλήρως πρὸς τὴν ὀρυκτολογικὴν σύστασιν τῶν πετρωμάτων.

Ἡ χλωριτικὴ ζώνη (δεῖγμα 4) συγχρινομένη μὲ τὸν φοδινγίτην (δεῖγμα 2) παρουσιάζει σχεδὸν ὅλικὴν ἔλλειψιν CaO . Τοῦτο διαπιστοῦται και μικροσκοπικῶς καθ' ὅτι ἔλλειπον παντελῶς ὀρυκτὰ τοῦ ἀσβεστίου ἐκ ταύτης. Τὸ ὑψηλὸν ποσοστὸν εἰς H_2O τῆς χλωριτικῆς ζώνης διφείλεται ἀπλῶς εἰς τὴν ἀφθονίαν τοῦ χλωρίτου, ἡ δὲ ηνέημένη ἀναλογία τοῦ MgO ἀποδίδεται εἰς τὸν χλωρίτην και τὸν συνυπάρχοντα σερπεντίνην. Ἐπίσης ἡ παρουσια-ζομένη μείωσις τοῦ ὅλικοῦ σιδήρου ἀποδίδεται κατὰ τὸν M. VUAGNAT (14) εἰς τὸν ὅλιγον σιδηροῦχον χαρακτῆρα τοῦ χλωρίτου. Ἡ ἔλλειψις TiO_2 ἐπίσης ἔξηγεῖται ἐκ τοῦ ὅτι ἀπουσιάζουν ἐκ τῆς ζώνης ταύτης ὀρυκτὰ τοῦ τιτανίου, τὰ δποῖα δμως ἐμφανίζονται εἰς τὸν φοδινγίτην ὑπὸ τὴν μορφὴν κυρίως φουτιλίου και περοβοσκίτου.

Ἡ χλωριτικὴ ζώνη δμως θὰ πρέπῃ νὰ συγκριθῇ και μὲ τὸν σερπεντινίτην, μὲ τὸν δποῖον ἀρχικῶς ἀπετέλει, κατὰ τὴν γνώμην μας, ἐν και τὸ αὐτὸ πέτρωμα. Μόνον ἐκ τῆς συγχρίσεως ταύτης θὰ δυνηθῶμεν νὰ καθορίσωμεν ἐνδεχομένας ἀνταλλαγὰς στοιχείων αἱ δποῖαι τυχὸν ἔλαβον χώραν μεταξὺ σερπεντινίτου και φοδινγίτου, ἀκριβῶς ὡς πιστεύομεν, εἰς αὐτὴν ταύτην τὴν ζώνην. Συγχρινομένη λοιπὸν ἡ ζώνη αὗτη μὲ τὸν σερπεντινίτην

Π Ι Ν Α Ε III

Χημικαὶ ἀναλύσεις ροδινγίτου, χλωριτικῆς ζώνης, σερπεντινίτου.

	Π ε ρ ι ο χ ḥ Β ε ρ γ ī ν α			Alpe Champatsch (Basse Engadine)		
	Δεῖγμα 2 Ροδινγίτης	Δεῖγμα 4 Χλωριτικὴ ζώνη	Δεῖγμα 5 Σερπεντινίτης	Κέντρον	Περιφέρεια	Σερπεντινίτης
SiO ₂	33,90	33,80	38,75	37,48	31,20	37,74
FeO	1,36	1,56	1,53	2,62	4,74	0,60
Fe ₂ O ₃	15,46	2,03	2,26	5,60	5,95	6,91
Al ₂ O ₃	6,18	11,47	2,82	15,47	13,27	1,89
CaO	19,70	0,17	0,15	25,87	1,18	1,84
MgO	13,88	34,80	37,80	7,86	29,70	36,73
TiO ₂	0,88	—	—	0,84	0,08	0,10
MnO	0,06	0,09	0,08	0,12	1,01	0,11
Cr ₂ O ₃	—	—	0,07			
NiO	—	0,34	0,33			
K ₂ O	0,22	0,19	0,14	ἴχνη	—	0,10
Na ₂ O	0,86	1,05	1,28	0,05	0,01	0,06
SO ₃	0,07	0,09	0,13			
P ₂ O ₅	0,13	0,10	0,03	0,05	0,07	0,01
Απώλεια εἰς 950°C	5,93	13,20	13,66	H ₂ O+ + H ₂ O- = 3,47 + 0,05	H ₂ O+ + H ₂ O- = 11,60 + 0,05	H ₂ O+ + H ₂ O- = 12,27 + 0,53
CO ₂		Ψηφιακή Βιβλιοθήκη "Θεόφραστος" - Τμήμα Γεωλογίας		A.Π.Θ.	—	1,39

παρουσιάζει μίαν άρκετά ηλιξημένην περιεκτικότητα εἰς Al_2O_3 , προφανῶς ἔνεκα τοῦ χλωρίτου. Ἡ δὲ μειωμένη περιεκτικότης εἰς MgO ὀφεῖται εἰς τὴν μικρὰν ποσότητα ὀρυκτῶν σερπεντίνου ἔναντι ἐκείνης τῶν σερπεντινιτῶν. Ἐκ τῆς συγκρίσεως ταύτης καταφαίνεται ὅτι δὲν ὑπάρχουν πολλαὶ χημικαὶ διαφοραὶ μεταξὺ χλωριτικῆς ζώνης καὶ σερπεντινιτῶν, γεγονὸς τὸ δῆμοιον ἐνισχύει ἀκόμη περισσότερον τὴν ἄποψίν μας, καθ' ἥν ἡ ζώνη αὗτη ἀνήκει εἰς τὸ σῶμα τῶν τελευταίων.

Νομίζομεν λοιπὸν ὅτι, μεταξὺ ροδινγίτου καὶ σερπεντινίτου ἐγένετο, πιθανῶς, μία μικρὰ ἀνταλλαγὴ στοιχείων καὶ τοῦτο μόνον εἰς μικρὰν ἀπόστασιν ἀπὸ τὴν φλέβα (χλωριτικὴ ζώνη). Βάσει τῆς χημικῆς ἀναλύσεως φαίνεται ὅτι ἔλαβε χώραν ἀπομάκρυνσις ἀργιλίου ἐκ τοῦ ροδινγίτου πρὸς τὸν σερπεντινίτην (ἡλιξημένη ἀναλογία Al_2O_3 εἰς τὴν χλωριτικὴν ζώνην ἔναντι τοῦ ροδινγίτου) καὶ μία προσφορὰ μαγνησίου ἐκ τοῦ σερπεντινίτου πρὸς τὸν ροδινγίτην (ἡλιατωμένη ἀναλογία MgO εἰς τὴν χλωριτικὴν ζώνην ἔναντι τοῦ σερπεντινίτου).

Μὲ τὰς ἀνωτέρω παρατηρήσεις δὲν ἔξηγεῖται βεβαίως ἡ ἰδιόρρυθμος χημικὴ σύστασις τῶν ροδινγίτων, τῶν δποίων ἡ γένεσις συνδέεται στενῶς μὲ τὴν ὑπαρξίαν τῆς μεγάλης περιεκτικότητος τοῦ πετρώματος εἰς CaO , ἡτις καὶ δὲν δύναται νὰ ἐρμηνευθῇ ἐκ τοῦ πίνακος III.

Διάφοροι σκέψεις περὶ τῆς προσφορᾶς τοῦ CaO , τῆς ἐρμηνείας τῆς χημικῆς καὶ ὀρυκτολογικῆς συστάσεως, ὡς καὶ τῆς γενέσεως τῶν ροδινγίτων, ἐκτίθενται εἰς τὸ ἀμέσως ἐπόμενον κεφάλαιον.

IV. ΓΕΝΕΣΙΣ

Ἡ γένεσις τῶν ροδινγίτων ἔχει προκαλέσει πλῆθος συζητήσεων μεταξὺ τῶν ἐρευνητῶν. Τὸ σημεῖον εἰς τὸ δῆμοιον συγκλίνουν οἱ πλεῖστοι εἶναι ἡ προέλευσις τούτων ἐξ ἑνὸς ἀρχικοῦ πετρώματος γαβριού, δολεριτικῆς ἢ διαβασικῆς συστάσεως (**1, 2, 4, 9, 10, 13, 14, 15**) ὑπὸ μορφὴν φακῶν ἢ φλεβῶν (διεισδύσεων).

Ὑπάρχουν ὅμως καὶ διάφοροι ἄλλαι ἀπόψεις. Ἐπὶ παραδείγματι, δὲ V. MAJER (**8**) παραδέχεται ὡς μητρικὸν πέτρωμα τῶν ροδινγίτων πλαγιοκλασίτην, ἐνῶ δὲ Γ. ΠΑΡΑΣΚΕΥΟΠΟΥΛΟΣ (**10**) εἰς μίαν περίπτωσιν παραδέχεται ξενόλιθον ψαμμιτικῆς κυρίως συστάσεως ἐντὸς σερπεντινιτῶν.

Ἡ μελέτη ροδινγίτῶν ἐκ διαφόρων περιοχῶν τῆς Ἑλλάδος καὶ ἡ συγκριτικὴ των παρατήρησις ἔβοήθησεν πολὺ εἰς τὴν ἔξαριθμωσιν τοῦ ἀρχικοῦ πετρώματος. Δυνάμεθα λοιπὸν νὰ εἴπωμεν ὅτι, διὰ τὰς μελετηθείσας περιοχάς, ἀρχικὰ πετρώματα τῶν ροδινγίτων ἀπετέλεσαν γάρβιοι ἢ διαβάσαι ἢ ἀκόμη καὶ πυροξενῖται ὑπὸ μορφὴν φλεβικῶν διεισδύσεων ἐντὸς σερπεντινιτῶν. Πιστεύομεν δὲ ὅτι εἰς ὅλας τὰς μελετηθείσας περιπτώσεις πρόκειται περὶ φλεβικῶν σχηματισμῶν καὶ ὅτι οἱ τυχὸν μικροὶ φακοειδεῖς σχηματισμοὶ δὲν εἶναι παρὰ ὑπόλοιπα μιᾶς φλεβῖδος ἢ δποία ἔχει ὑποστῆ κατάτμησιν.

Τὸ κύριον ὅμως πρόβλημα εἶναι ἡ διευκρίνισις τοῦ φαινομένου τὸ δποῖον προεκάλεσεν τὴν μετατροπὴν τῶν βασικῶν φλεβικῶν πετρωμάτων (γάλβρων, διαβασῶν) πρὸς ροδινγίτην καὶ τῶν συνθηκῶν αἱ δποῖαι ὠδήγησαν εἰς τὴν μετατροπὴν ταύτην.

Οἱ πλεῖστοι τῶν ἔρευνητῶν ὅμιλοῦν ἀπλῶς περὶ μιᾶς μετασωματώσεως (**4, 8, 15**), διὰ τῆς προσλήψεως ὑλικοῦ, κατὰ κύριον λόγον ἀσβεστιτικοῦ καὶ ἀποβολῆς κυρίως ἀλκαλιούχου τοιούτου. Νομίζομεν ὅτι ἡ ἀποψις αὕτη εἶναι σωστὴ καὶ διὰ τὰς ἡμετέρας περιπτώσεις, ἀλλὰ ὅχι πλήρως ἴκανον ποιητική. Ἡ μικροσκοπικὴ παρατήρησις καὶ ὁ χημισμὸς τῶν διαφόρων ροδινγίτῶν βοηθοῦν πολὺ εἰς τὴν διατύπωσιν ὡρισμένων σκέψεων ὡς πρὸς τὸ φαινόμενον τῆς ροδινγίτισσεως, χωρὶς βεβαίως νὰ ἀποτελοῦν καὶ λύσεις τοῦ προβλήματος τούτου.

Οἱ ὑδρογρανάται, οἱ δποῖοι ἀποτελοῦν καὶ τὸ κύριον συστατικὸν τῶν περισσοτέρων ροδινγίτῶν, φαίνεται ὅτι δημιουργοῦνται εἰς βάρος τῶν προϋπαρχόντων πλαγιοκλάστων. Διακρίνεται ἐνίστε εὐχρινῶς τὸ περιγραμμα τῶν πλαγιοκλάστων τὰ δποῖα ὅμως εἶναι ὀπικῶς ἀδρανῆ. Συντελεῖται δηλαδὴ μία πλήρης ἀντικατάστασις τούτων ὑπὸ λεπτοτάτων κόκκων ὑδρογρανάτου. Ἀνάλογοι παρατηρήσεις ἀναφέρονται ὑπὸ M. VUAGNAT (**14**).

Χημικῶς τὸ φαινόμενον τοῦτο χαρακτηρίζεται ἀφ' ἐνὸς μὲν ἀπὸ τὴν μείωσιν τῶν ἀλκαλίων—εἰς τὸ ἐλάχιστον—καὶ τοῦ SiO_3 , ἀφ' ἐτέρου δὲ ἀπὸ τὴν αὔξησιν τοῦ CaO . Τὸ Al_2O_3 τῶν πλαγιοκλάστων ἀφομοιοῦται εἰς τὸν ὑδρογροσσούλαριον. Ἡ αὔξησις βεβαίως τοῦ CaO ἐκ τουαύτης ὅδοῦ δὲν εἶναι τόσον οὐσιώδης, ὥστε νὰ δικαιολογῇ τὴν μεγάλην περιεκτικότητα τοῦ πετρώματος εἰς CaO . Τὸ αἴτιον τῆς αὔξησεως τούτου, κατὰ τὴν γνώμην μας, πρέπει ν' ἀναζητηθῇ ἀλλοῦ, πολὺ δὲ περισσότερον καθ' ὅσον οἱ ροδινγίται μὲ βεζουβιανὸν ἀπατοῦν ἀκόμη μεγαλυτέραν αὔξησιν τῆς περιεκτικότητος τοῦ πετρώματος εἰς ἀσβέστιον ($33,20\%$, Πίναξ II).

Τίθεται δηλαδὴ τὸ ἔρωτημα ἐὰν ἡ φλὲψ παρέμεινεν κλειστὸν σύστημα ὡς πρὸς τὰ ὑπερβασικὰ περιβάλλοντα πετρώματα ἢ ὑπῆρξεν ἀνταλλαγὴ ὑλικοῦ μεταξὺ αὐτῶν. Προσωπικῶς πιστεύομεν ὅτι μία τουλάχιστον εἰς μικρὰν κλίμακαν ἀνταλλαγὴ ἐγένετο· ἀπόδειξις ἡ χλωριτικὴ ἄλως ἡ δποία δὲν ἀποτελεῖ ζώνην μεταμορφώσεως ἐπαφῆς (ἔλλειπον παντελῶς ὀρυκτὰ τοιαύτης μεταμορφώσεως), ἀλλὰ ἔδραν ἀνταλλαγῆς στοιχείων, τουλάχιστον διὰ μέρος τοῦ ἀργιλίου καὶ μαγνησίου, ὡς ἡδη ἀνεφέρθη εἰς τὸ κεφάλαιον περὶ χημισμοῦ.

Τὸ κύριον ὅμως πρόβλημα, τὸ δποῖον εἶναι τὸ τῆς προελεύσεως τοῦ CaO , δὲν δύναται οὕτω, διὰ τῆς στενῆς μικροσκοπικῆς καὶ χημικῆς ἔξετάσεως νὰ ἐγγηθῇ. Σχεικῶς μὲ τὸ πρόβλημα τοῦτο, διατυποῦνται αἱ κάτωθι ὑποθέσεις: εἴτε α) ὅτι τὸ CaO τῶν ροδινγίτῶν προέρχεται ἀπὸ ἕζηματα πλούσια εἰς ἀσβεστίην ἐντὸς τῶν σερπεντινιτῶν (**9, 10**), εἴτε β) ἀπὸ ἀνερχόμενα ὑστερομαγματικὰ διαλύματα ἐνὸς βασικοῦ μάγματος πλουσίου εἰς CaO (**7**), εἴτε γ) ἀπὸ τὰ ὑπερβασικὰ γειτονικὰ πετρώματα κατὰ τὴν στιγμήν.

μὴν τῆς σερπεντινιώσεως (2, 12). Τὴν πρώτην ἐκ τῶν ὑποθέσεων τούτων θεωροῦμεν ὀλιγάτερον πιθανὴν διὰ τὰς ἡμετέρας περιπτώσεις ροδινγιτῶν. Αἱ δύο τελευταῖαι δίδουν μίαν κάποιαν λύσιν εἰς τὸ πρόβλημα τοῦτο.

Γενικῶς πιστεύομεν ὅτι ἡ ροδινγιτίωσις ἔχει σχέσιν μὲ τὴν σερπεντινιώσιν τῶν ὑπερβασικῶν μαζῶν (τρίτη ὑπόθεσις). Ἐνταῦθα πρέπει νὰ ληφθοῦν ὑπὸ ὄψιν αἱ δύο ἀντίθετοι ἀπόψεις διὰ τὸ ἀλυτὸν μέχρι στιγμῆς πρόβλημα τῆς σερπεντινιώσεως, ἐὰν δηλαδὴ ἐπέδρασαν διαλύματα καὶ δὴ ὑδροθερμικὰ ἢ ὄχι.

Ο S. A. BILGRAMI καὶ ὁ M. A. QAIISER (2, 12) πιστεύουν ὅτι τὸ CaO ἀπελευθερώνεται ἀπὸ τὴν ἔξαλλοισιν τῶν κλινοπυροξένων κατὰ τὴν στιγμὴν τῆς σερπεντινιώσεως, μετατρεπομένων οὕτω εἰς σερπεντίνην. Τὸ CaO μεταφέρεται διὰ μέσου τοῦ σώματος τοῦ γάρβρου ἢ δολερίτου διὰ κυκλοφορούντων ὑδροθερμικῶν διαλυμάτων, ἐνοῦται μὲ τὸ Al₂O₃ τῶν πλαγιοκλάστων, σχηματιζομένου τοιουτορόπως τεῦ ὑδρογροσσούλαρίου.

Ο M. VUAGNAT (15) πιστεύει ἐπίσης ὅτι ἡ μετασωμάτωσις συνδέεται μὲ τὴν σερπεντινώσιν, ἡ δοπία ὅμως δὲν διείλεται κατ' αὐτὸν εἰς ὑδροθερμικὰ διαλύματα ἀλλὰ συνετελέσθη κατὰ τὴν τεκτονικὴν ἄνοδον τῶν ἥδη κρυσταλλωθέντων ὑπερβασικῶν μαζῶν.

Ἐπ' αὐτοῦ συμφωνοῦμεν περισσότερον μὲ τὴν ἀποψιν τῶν BILGRAMI καὶ QAIISER. Τὸ ὅτι ὁ τεκτονικὸς παράγων ἔπαιξε σπουδαῖον ρόλον εἰς τὸ φαινόμενον τῆς ροδινγιτίωσεως εἶναι πέραν πάσης ἀμφιβολίας (ὕπαρξις μυλωνιτιώσεως εἰς ὠρισμένους ροδινγίτας, κατάτμησις τῶν φλεβῶν). Ἀλλὰ πιστεύομεν ὅτι ἡ ροδινγιτίωσις διηγολύνθη ἀπλῶς κατ' αὐτὸν τὸν τρόπον, διότι ἡδυνήθησαν εὐκολώτερον νὰ κυκλοφορήσουν τὰ ὑδατικὰ διαλύματα διὰ τῶν δημιουργηθεισῶν διαρροήσεων.

Δὲν εἴμεθα εἰς θέσιν νὰ εἴπωμεν ἐὰν τὰ διαλύματα ἦσαν ὑδροθερμικὰ ἢ ὄχι, πάντως πιστεύομεν εἰς τὴν ὑπαρξίαν αὐτῶν ὡς φορέων τοῦ CaO ἐκ τῶν σερπεντινιτῶν. Νομίζομεν ὅτι ἡ ἀποψις αὗτη δίδει καὶ μίαν ἔξήγησιν εἰς τὸ πρόβλημα τῆς ὀδεύσεως καὶ τῆς κυκλοφορίας τοῦ ἀπελευθερούμενου CaO κατὰ τὴν στιγμὴν τῆς σερπεντινιώσεως τῶν ὑπερβασικῶν πετρωμάτων. Τὸ ὅτι ἐκυκλοφόρησαν διαλύματα ἐντὸς τῶν ὑπὸ συζήτησιν φλεβῶν, τὸ στηρίζομεν εἰς τὴν ὑπαρξίαν ὑστερογενοῦς ρευστικῆς ὑφῆς τῶν γρανατιτικῶν κυρίως συσσωματωμάτων, εἰς τὴν πλήρωσιν μικρορωγμῶν τοῦ πετρώματος ὑπὸ κοβελλίνου, ἀσβεστίτου κ.λ.π. Ἡ ὑστερογενὴς δημιουργία τοῦ περοβοκίτου, ἀπαιτοῦσα μίαν κάποιαν θερμοκρασίαν σχηματισμοῦ, ἵσως νὰ ἀποτελῇ μίαν ἔνδειξιν περὶ τῆς ὑπάρξεως θερμῶν, πλουσίων εἰς CaO διαλυμάτων.

Παραδεχόμεθα δηλαδὴ διὰ τὴν γένεσιν τῶν ροδινγιτῶν, ὡς καὶ οἱ BILGRAMI, QAIISER (2,12), τὰ ἔξης: τὰ ὑπερβασικὰ πετρώματα ἦσαν τὰ πρώτα δημιουργηθέντα· συντόμως ἡκολούθησαν, ὑπὸ τύπου διεισδύσεων ἐντὸς τούτων, γάρβροι, δολερίται, πυροξενῖται. Κατόπιν ὑδατικὰ διαλύματα προκαλέσαντα τὴν σερπεντινώσιν καὶ ἐμπλουτισθέντα οὕτω εἰς CaO, προε-

κάλεσαν διὰ τῆς κυκλοφορίας των ἐντὸς διακλάσεων καὶ τὴν μετατροπὴν τῶν ἀνωτέρω φλεβικῶν πετρώματων εἰς ροδινγίτας.

Βεβαίως εἶναι πιθανὴ — δευτέρα κατὰ σειρὰν ὑπόθεσις (7) — καὶ μία προσφορὰ CaO κατ' εὐθείαν ἀπὸ ὑστερομαγματικὰ διαλύματα τὰ δποῖα, ὡς τελικὰ προϊόντα τῆς βαθμιαίας ψύξεως τοῦ ὑπερβασικοῦ μάγματος, εἶναι ἡδη ἐμπλουτισμένα εἰς ἀσβέστιον. Ταῦτα δύνανται νὰ προκαλέσουν συγχρόνως σερπεντινίωσιν καὶ ροδινγίτιωσιν.

Τέλος πιστεύομεν ὅτι οἱ ροδινγίται μὲ κύριον συστατικὸν τὸ βεζούβιανὸν δὲν εἶναι παρὰ ἐν προκεχωρημένον στάδιον ροδινγίτιώσεως. 'Ο βεζούβιανὸς ἐναποτιθέμενος κατὰ κύριον λόγον ἐντὸς ρωγμῶν τοῦ πετρώματος δεικνύει τὸν ὑστερογενῆ σχηματισμόν του ἀπὸ διαλύματα ἀκόμη πλουσιώτερα εἰς ἀσβέστιον.

ΣΥΜΠΕΡΑΣΜΑΤΑ

Ἐξ ὕσων ἐλέχθησαν εἰς τὴν παροῦσαν μελέτην συμπεραίνονται τὰ κάτωθι :

- 1) 'Η πλήρης σχεδὸν ταύτισις τῶν ἔξετασθέντων Ἑλληνικῶν ροδινγίτῶν πρὸς τοὺς ροδινγίτας τοὺς ἀναφερομένους εἰς τὴν διεθνῆ βιβλιογραφίαν.
- 2) 'Η Ἑλλάς, ὡς χώρα πλουσία εἰς ὑπερβασικὰ πετρώματα, παρουσιάζει ἐπίσης καὶ ροδινγίτας εἰς μεγάλην συχνότητα.
- 3) Οἱ μελετηθέντες ροδινγίται εἶναι φλεβικὰ πετρώματα μὲ κύρια δρυκτολογικὰ συστατικὰ ἀσβεστοπυριτικὰ ὀρυκτὰ (ὑδρογροσσουλάριος, διοψίδιος, βεζούβιανός).
- 4) 'Εκ τῶν χημικῶν ἀναλύσεων προκύπτει ὅτι εἶναι ὑπερβασικὰ πετρώματα πλούσια εἰς CaO χωρὶς σχεδὸν καθόλου ἀλκαλία.
- 5) Μητρικὰ πετρώματα τῶν ροδινγίτῶν ἀπετέλεσαν φλέβες γάββρου, δολερίτου, πυροξενίτου.
- 6) 'Ο ὑδρογροσσουλάριος, ὃστις ἀποτελεῖ τὸ κύριον συστατικὸν τῶν ροδινγίτῶν προέρχεται, κατὰ πάσαν πιθανότητα, ἀπὸ προϋπάρχοντας ἐντὸς τοῦ φλεβικοῦ πετρώματος ἀστρίους. Μία προέλευσις τούτου καὶ ἐκ τοῦ διοψίδιου θεωρεῖται ἐπίσης πιθανή.
- 7) 'Ο διοψίδιος δὲν ἀντιπροσωπεύει ἀποκλειστικῶς ἐν παλαιὸν τοῦ ἀρχικοῦ πετρώματος συστατικόν, ἀλλὰ δύναται νὰ ἀποτελῇ καὶ νεοσχηματισμὸν ὁμοῦ μετὰ τοῦ βεζούβιανοῦ.
- 8) 'Η χλωριτικὴ ζώνη τῶν ροδινγίτῶν (ἔξωτερικὸν τμῆμα) ἀποτελεῖ μίαν ἔδραν ἀνταλλαγῆς στοιχείων μεταξὺ ροδινγίτου καὶ σερπεντινίτου, δημιουργηθεῖσα κατὰ τὴν διάρκειαν ἥ μετὰ τὴν σερπεντινίωσιν (παρατηρεῖται μετάβασις χλωρίτου πρὸς κυψελώδη σερπεντίνην).
- 9) Τὸ CaO τῶν ροδινγίτῶν δυνατὸν νὰ προέρχεται εἴτε ἐκ τῆς ἔξαλλοιώσεως ὀρυκτῶν πλουσίων εἰς ἀσβέστιον (διοψίδιος), εἴτε ἀπ' εὐθείας ἀπὸ φυσικὴ βιβλιογράφησης θεόρατος περίγραμμα Γεωλογίας. A.P.Th.

- 10) Παραδεχόμεθα ότι υπάρχει γενετική σχέσις μεταξύ σερπεντινιώσεως και ροδινγιτιώσεως και δή ότι οι ροδινγίται δημιουργοῦνται ταυτοχρόνως ή μετά τὴν σερπεντινίωσιν, ἀπὸ θάσιας διαλύματα προκαλέσαντα ταύτην.

R É S U M É

Dans cette étude sont examinés les rodingites de différentes régions en Grèce, telles que Veria, Rodiani, ainsi que l'île de Lesbos et les villages Elaphina, Hhoropanion, Microclisoura.

Les rodingites en question se rencontrent sous forme de petits filons, et sont constitués essentiellement par l'hydrogrossulaire, la diopside, l'idocrase et la chlorite. Par le calcul de la maille élémentaire de l'hydrogrossulaire ($a = 12,0410 \text{ \AA}$) on conclue qu'il s'agit de la hibschite. On a observé tous les stades de la rodingitisation, c'est à dire du rodingite typique avec hydrogrossulaire comme minéral essentiel, jusqu'au rodingite à idocrase.

Les observations faites surtout par l'étude microscopique prouvent que la roche originelle des rodingites pourrait être soit un gabbro soit une dolerite soit une pyroxénite. Les analyses chimiques conduisent à la conclusion qu'il s'agit de roches ultrabasiques riches en CaO.

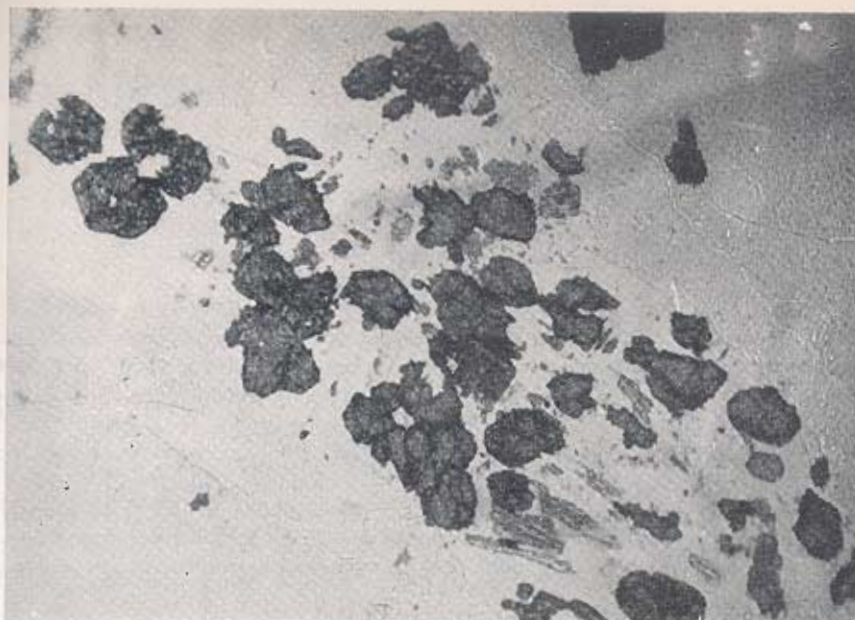
La genèse des rodingites se rapporte aux mêmes conditions qui sont responsables de la serpentinitisation. Quant à la provenance du CaO il y a plusieurs hypothèses ; à notre avis le CaO provient surtout des clinopyroxènes de roches ultrabasiques au moment de la serpentinitisation. Finalement un petit échange d'éléments entre rodingites et serpentinites est considéré probable.

ΒΙΒΛΙΟΓΡΑΦΙΑ

1. BILGRAMI, S. A. (1963).— Serpentine - Limestone contact at Teleri Mhammad Jan, Zhob valley, West Pakistan. *Amer. Miner.*, Vol. **48**, pp. 1176-1177, (περίληψις εἰς *Zentralbl. Miner.*, Jahrg. 1964, Teil. **2**, S. 194, Stuttgart).
2. BILGRAMI, S. A. - HOWIE, R. A. (1960).— The mineralogy and petrology of a rodingite dike, Hindubagh, Pakistan. *Amer. Miner.*, Vol. **45**, pp. 791-801, (περίληψις εἰς *Zentralbl. Miner.*, Jahrg. 1961, Teil. **2**, S. 102, Stuttgart).
3. COGULU, E. - VUAGNAT, M. (1965).— Sur l'existance de rodingites dans les serpentinites des environs de Mihalıçık (Vilayet d'Eskişehir, Turquie). *Schw. Miner. Petr. Mitt.*, Bd. **45**, S. 17, Zürich.
4. CRNČEVIĆ, S. - GRČEV, K. - KARAMATA, S. - SIMIĆ, J. (1962).— Rodingites from the Ljuboten Serpentine Massif. *Referati V. Svetovanja geol. FNRI*,



- Vol. **2**, pp. 87 - 92, Beograd (περίληψις εἰς *Zentralbl. Miner.*, Jahrg. 1964, Teil. **2**, S. 194, Stuttgart).
5. DUCLOZ, CH. - VUAGNAT, M. (1962).— A propos de l'âge des serpentinites de Cuba. *Archiv. Sc. Genève*, Vol. **15**, fasc. 2, pp. 309 - 332, Genève.
 6. HEFLIK, W. - ŻABIŃSKI, W. (1969).— A chromian hydrogrossular from Jordanów, Lower Silesia, Poland. *Miner. Mag.*, Vol. **37**, No 286, pp. 241 - 243.
 7. KORZHINSKII, D. S. (1965).— Abriss der metasomatischen Prozesse, S. 117 - 118, Berlin.
 8. MAJER, V. (1960).— Rodingit von Cap Bassit (Nordwestsyrien). *N. Jb. Miner.*, Mh. **4**, pp. 85 - 89, (περίληψις εἰς *Zentralbl. Miner.*, Jahrg. 1961, Teil. **2**, S. 241, Stuttgart).
 9. MÜLLER, P. (1962).— Kalksilikatfelse im Serpentin des Piz Lunghin bei Maloja. Ein Beitrag zur Genese des Rodingite. *Chem. d. Erde*, Vol. **22**, pp. 452 - 464, (περίληψις εἰς *Zentralbl. Miner.*, Jahrg. 1963, Teil. **2**, S. 581, Stuttgart).
 10. ΠΑΡΑΣΚΕΥΟΠΟΥΛΟΣ, Γ. (1970).— Rodingite in serpentiniten von NW-Thessalien, Griechenland. *'Επετ. 'Επιστ. Ἐρευνῶν Ἔθν. Καποδιστ. Πανεπ. Αθηνῶν*, Τόμ. **2**, σελ. 533 - 550.
 11. PHILLIPS, W. R. (1963).— A differential thermal study of the chlorites. *Miner. Mag.*, Vol. **33**, pp. 404 - 414.
 12. QAISER, M. A. - AKHTER, S. M. - KHAN, A. H. (1970).— Rodingite from Natanji Sar, Dargai ultramafic complex, Malakand, West Pakistan. *Miner. Mag.*, Vol. **37**, No 290, pp. 735 - 739.
 13. SUZUKI, J. (1954).— On the Rodingitic Rocks within the Serpentin Masses of Hokkaido. *J. Fac. Sci. Hokkaido Univ. Ser. IV. Geol. and Min.*, Vol. **8**, pp. 419 - 430 (περίληψις εἰς *Zentralbl. Miner.*, Jahrg. 1956, Teil. **2**, S. 152, Stuttgart).
 14. VUAGNAT, M. (1965).— Remarques sur une inclusion rodingitique de l'Alpe Champatsch (Basse - Engadine). *Eclogae Geologicae Helvetiae*, Vol. **58**, No 1, pp. 443 - 448.
 15. VUAGNAT, M. - PUSZTASZERI, L. (1964).— Ophisphérites et rodingites dans diverses serpentinites des Alpes. *Schw. Min. Petr. Mitt.*, Bd. **44**, S. 12 - 15, Zürich.



Εἰκ. 1. Σπανία περίπτωσις ιδιομόρφων κρυστάλλων bimschite ἐντὸς μικροφορητῆς πληρωθείσης ψπά γλωσίτου. Διακρίνονται ολίγα ἐπιρήπη οὐράλοιπα πυροξένων. Nicols //, $\times 50$.



Εἰκ. 2. Ρούτιλιον (σκοτεινὸν τεφρὸν εἰς τὸ κέντρον τῆς εἰζόνος) μὲ περιφερειακὴν ὄλῳ ἐκ περιβοκίτευ. Nicols //, $\times 120$.
Ψηφιακή Βιβλιοθήκη "Θεόφραστος" - Τμήμα Γεωλογίας. Α.Π.Θ.